

Problema 1

A partir del algoritmo MH usando Kerneles H  bridos simule valores de la distribuci  n normal bivariada, fijando $\sigma_1 = \sigma_2 = 1$, considere los casos $\rho = 0.8$ y $\rho = 0.99$.

Presentamos la implementaci  n del algoritmo de Metropolis-Hastings con Kerneles H  bridos que utilizaremos en los 3 problemas de esta tarea. La funci  n se llama `metropolis_hastings_hybrid_kernels()` y se encuentra implementada en el archivo `.py` del mismo nombre. Esta funci  n recibe el tama  o de muestra requerido, la funci  n de densidad posterior, un vector de densidades de las distintas propuestas y un vector de probabilidades discretas para escoger los diferentes kernels.

Algorithm 1: Metropolis-Hastings con Kerneles H  bridos. Extracto de `metropolis_hastings_hybrid_kernels.py`

```
# Sample until desired number of samples generated
while len(sample) < sample_size:

    # Select transition kernel
    idx = np.random.choice(num_of_proposals, p=kernel_probs)

    # Generate random step from proposed distribution
    x_p = step()

    # Calculate the acceptance ratio
    alpha = log_acceptance_ratio(x_p, x_t, log_posterior[idx], log_proposal[idx])

    # Random uniform sample
    u = np.random.uniform()

    if u < np.exp(alpha): # Accept
        x_t = x_p

        # Burn-in
        ...

    # Add sample
    sample.append(x_t)

    # Next step
    t += 1
```

Una de las cosas que debemos mencionar es que en esta implementaci  n del algoritmo de Metropolis-Hastings primero calculamos anal  ticamente (o al menos intentando minimizar el error num  rico) el logaritmo de la raz  n de aceptaci  n, osea que en vez de calcular,

$$\rho = \min \left\{ 1, \frac{\pi(y) q(x|y)}{\pi(x) q(y|x)} \right\}$$

calcularemos su logaritmo, notando que estamos aplicando una funci  n creciente :

$$\rho' = \log(\rho) = \min \{0, \log[\pi(y)] - \log[\pi(x)] + \log[q(x|y)] - \log[q(y|x)]\}$$

Como vimos en clase esto tiene mejores propiedades para hacer calculos numericos. Al final no aceptamos un paso propuesto con propabilidad $\exp(\rho')$, osea que generamos un valor $u \sim \mathcal{U}(0, 1)$ y aceptamos cuando $u < \exp(\rho')$.

En este problema queremos generar una muestra de la funci  n objetivo del enunciado. Implementamos la funci  n de distribuci  n posterior (objetivo) en nuestro c  digo de python de la siguiente manera :

Algorithm 2: Posterior Normal

```
# Posterior distribution params
mu_1 = -.5
mu_2 = .5
sigma_1 = sigma_2 = 1

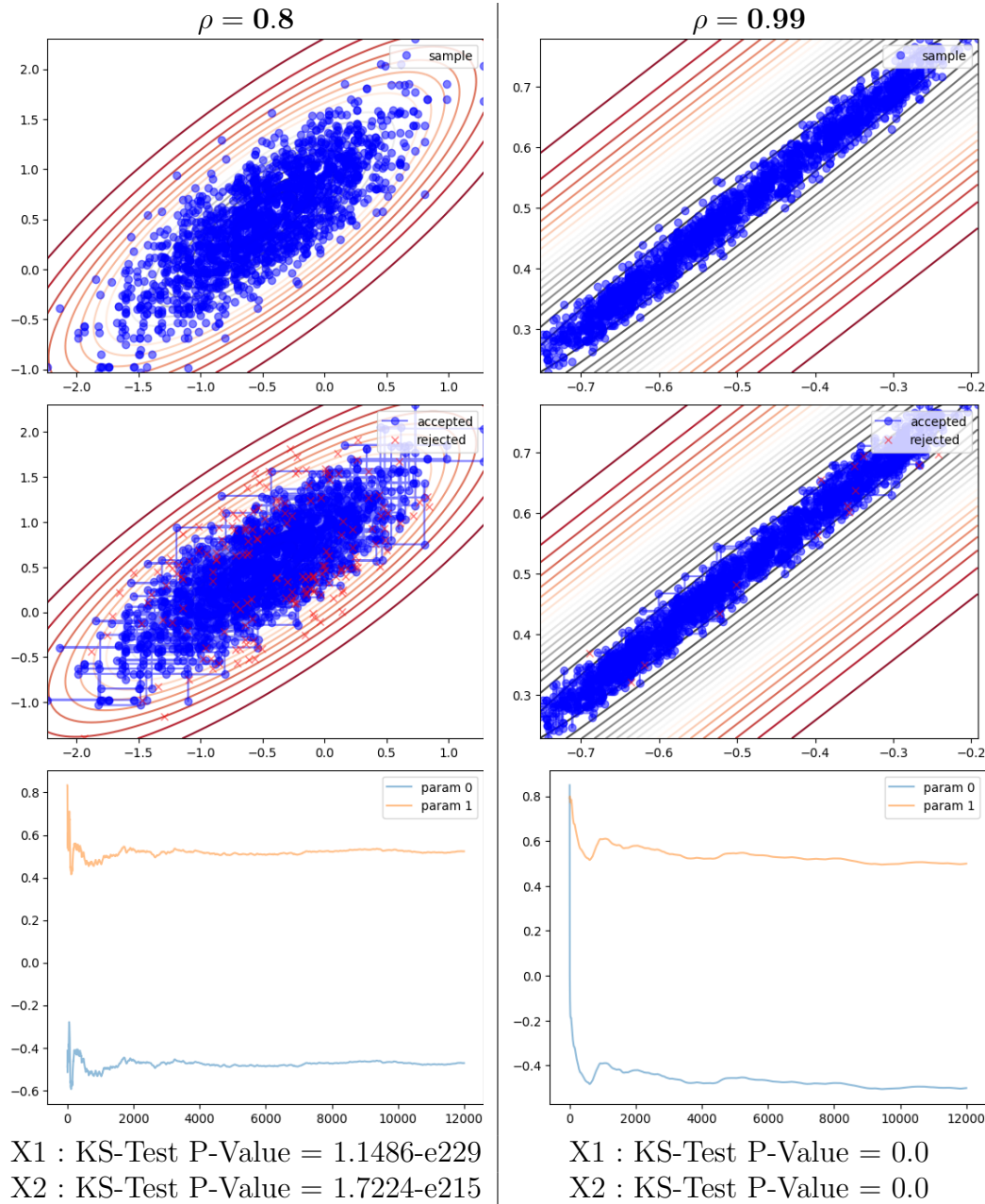
# Construct vectors
MU = [mu_1, mu_2]
SIGMA = [[sigma_1 ** 2, rho * sigma_1 * sigma_2],
          [rho * sigma_1 * sigma_2, sigma_2 ** 2]]

# Posterior to sample with metropolis hastings
def posterior(x):
    return stats.multivariate_normal.pdf(x, MU, SIGMA)

def log_posterior(x):
    return stats.multivariate_normal.logpdf(x, MU, SIGMA)
```

Escogemos espec  ficamente los par  metros $\mu_1 = -.5, \mu_2 = .5, \sigma_1 = \sigma_2 = 1$. Ejecutamos nuestro algoritmo para los distintos valores $\rho = 0.8$ y $\rho = 0.99$. Se escogio al azar en cada paso la propuesta a utilizar y se gener   una muestra de tama  o 2,000 con un burn-in de 10,000 para observar la convergencia. Como posici  n inicial de nuestro algoritmo utilizamos un valor generado con distribuci  n $\mathcal{U}(-1, 1)$ en cada entrada.

A continuaci  n estudiemos dos ejecuciones de nuestro algoritmo :



Podemos encontrar que ambas muestras 'siguen' las curvas de nivel de la distribuci n posterior. Esto lo podemos corroborar, un poco m s, con una prueba de **Normalidad Kolmogorov-Smirnoff** de las muestras marginales X_1 y X_2 , donde vemos que claramente se rechaza la hip tesis de que no sea normal. Tambi n notamos la grafica de convergencia de la media de la muestra de ambas entradas $x_1 \sim X_1, x_2 \sim X_2$ respecto al tiempo (n mero de iteraciones). Notamos que ambas medias estimadas $\hat{\mu}_1, \hat{\mu}_2$ convergen a los valores reales de las medias de las distribuciones marginales $\mu_1 = .5, \mu_2 = -.5$. Notamos que en el caso con el par metro

Par��metros	Usos			# Rechazados			% Rechazados		
	P1	P2	Tot.	P1	P2	Tot.	P1	P2	Tot.
$\rho = 0.8$	1013	987	2000	113	92	205	11.15 %	9.32 %	10.25 %
$\rho = 0.99$	1015	985	2000	3	6	9	0.30 %	0.61 %	0.45 %

$\rho = .99$ convergencia a los valores de las medias es mucho m  s lento y pesar de haber hecho un **burn-in** de 10,000 muestras, todav  a no est   lo suficientemente de los valores reales como en el caso con $\rho = .8$.

Para subsecuentes experimentos podemos escoger el un valor de **burn-in** de 4,000 iteraciones para el caso $\rho = 0.8$ y uno de al menos 8,000 iteraciones para el caso $\rho = 0.99$, de lo que podemos observar en que momento (casi) converge.

A continuaci  n presentamos algunas medidas del porcentaje de rechazos de cada propuesta. Notemos que el porcentaje de rechazo es muy bajo para ambas propuestas y que se reduce mucho m  s en el caso $\rho = 0.99$.

Problema 2

Consider   los tiempos de falla t_1, \dots, t_n con distribuci  n Weibull(α, λ):

$$f(t_i|\alpha, \lambda) = \alpha \lambda t_i^{\alpha-1} \exp -t_i^\alpha \lambda$$

Se asumen como a priori $\alpha \sim \exp(c)$ y $\lambda|\alpha \sim \text{Gama}(\alpha, b)$, por lo tanto,

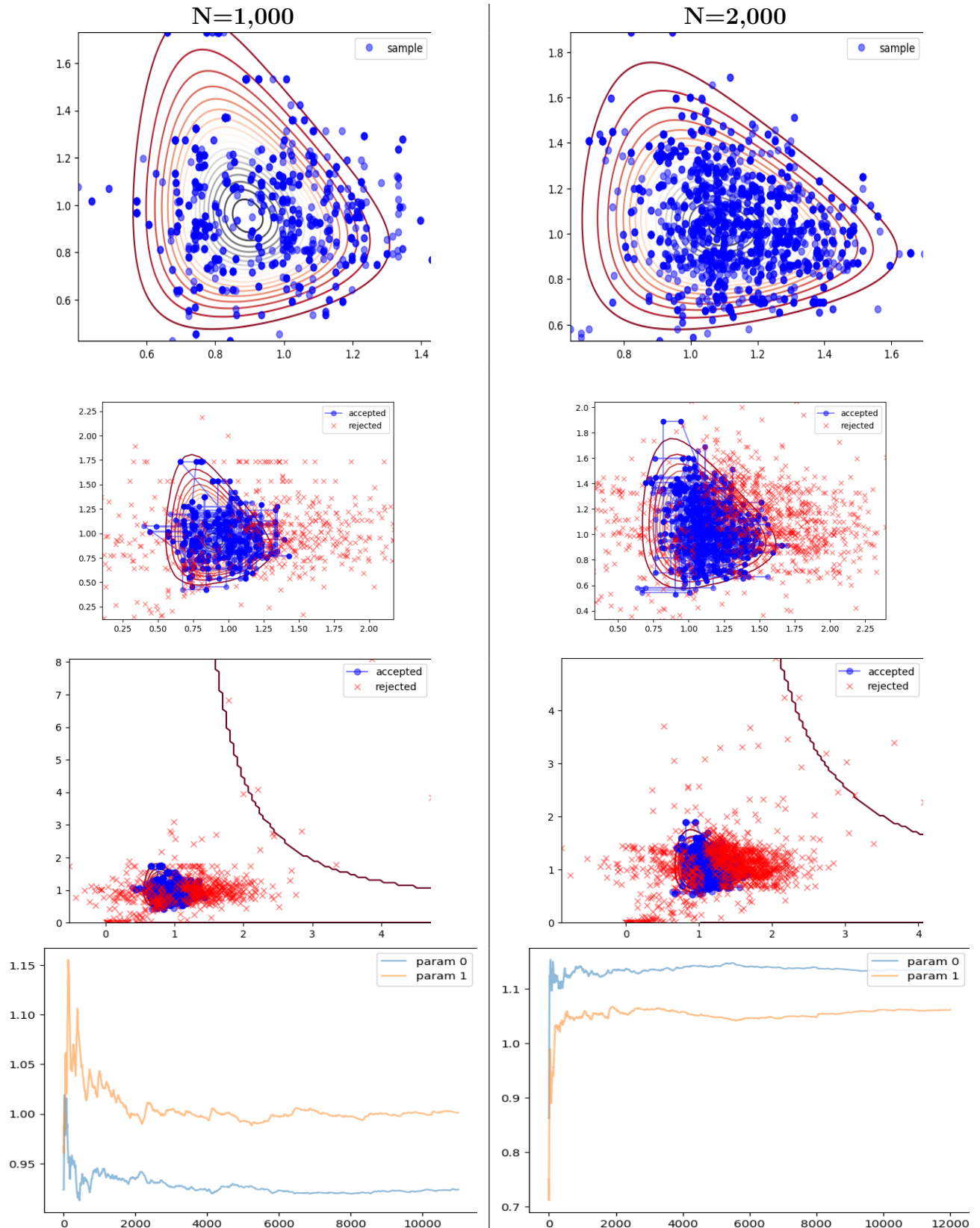
$$f(\alpha; \lambda) = f(\vec{t}|\alpha, \lambda)f(\alpha, \lambda)$$

As  , para la distribuci  n posterior se tiene:

$$f(\alpha, \lambda|\vec{t}, \vec{p}) \propto f(\vec{t}, \vec{p}|\alpha, \lambda)f(\alpha, \lambda)$$

A partir del algoritmo MH usando Kerneles h  bridos simule valores de la distribuci  n posterior $f(\alpha, \lambda|\vec{t}, \vec{p})$.

Ejecutamos la implementaci  n de nuestro con los siguientes par  metros. Escogimos un burn-in de 10,000 para estudiar la convergencia de los valores y muestras de tama  o $N = 1000, 2000$. Se utiliz   una posici  n inicial con distribuci  n $\mathcal{U}(0, 1)$ en cada entrada. Algo que es importante mencionar es que se utilizaron las siguientes probabilidades $p = .3, .3, .1, .3$ para utilizar cada uno de los 4 kerneles. Esto anterior para intentar reducir los rechazos en la propuesta 3, pues esta es la que m  s rechaza como veremos m  s adelante en la tabla de medida del rechazo.



De primera vista podemos observar que la muestra generada en ambos casos si tiene una cierta correspondencia con las curvas de nivel de la posterior. Tamb  n podemos observar que hay muchos rechazos que ocurren muy lejos de la regi  n con m  s densidad en la posterior. Una hip  tesis de por qu   ocurre lo anterior, es que la curva de nivel transversal que observamos a la derechas puede estar atrayendo a la evoluci  n del algoritmo. Notemos que en las   ltimas 2 gr  ficas las medias de la muestras generadas convergen alrededor de los valores reales $\alpha = \lambda = 1$.

A continuaci  n observamos los porcentajes de rechazo para cada propuesta :

Par��metros	Usos					# Rechazados					% Rechazados				
	P1	P2	P3	P4	Tot.	P1	P2	P3	P4	Tot.	P1	P2	P3	P4	Tot.
Sample = 1,000	300	305	99	296	1000	11380	273	90	200	643	26.67 %	89.51 %	90.91 %	67.57 %	64.30 %
Sample = 2,000	616	620	176	588	2000	303	423	163	355	1244	49.19 %	68.61 %	92.61 %	60.37 %	62.20 %

Notemos que el porcentaje de rechazo es muy alto en ambos casos. Esto no es gran sorpresa por que se puede corroborar esto mismo con las graficas donde se presentan propuestas aceptadas y rechazadas, donde veremos un gran n  mero de rechazos muy lejos de regi  n donde se concentra la densidad de la posterior.

Problema 3

Simule valores de la distribuci  n posterior $f(\lambda_1, \dots, \lambda_n | \vec{t}, \vec{p})$ usando kerneles h  bridos.

Para verificar que las propuestas son de Gibbs, primero notemos que estamos utilizando en particular un **Random Scan Gibbs sampler**, puesto que en cada paso escogemos al azar una de las 11 variables $(\lambda_1, \dots, \lambda_{10}, \beta)$ y la actualizamos con las siguientes propuestas.

$$\lambda_i | \beta, t_i, p_i \sim \text{Gamma}(p_i + \alpha, t_i + \beta), \quad (1 \leq i \leq 10),$$

$$\beta | \lambda_1, \dots, \lambda_{10} \sim \text{Gamma}(\gamma + 10\alpha, \delta + \sum_{i=1}^{10} \lambda_i)$$

Lo primero que notamos es que realmente siguen la forma de propuestas Gibbs, puesto que se tiene una distribuci  n condicional para cada par  metro λ_i, β dado todos los otros par  metros, e.g $\lambda_i | \lambda_{-i}, \beta$ o $\beta | \lambda_1, \dots, \lambda_{10}$. Tamb  n se verifica en las cuentas de la p  gina 386 del libro **Monte Carlo Statistical Methods** [1] que realmente estas son las distribuciones condicionales obtenidas al desarrollar la funci  n de densidad posterior con la prior's independientes $\lambda_i \sim \text{Gamma}(\alpha, \beta), \beta \sim \text{Gamma}(\gamma, \delta)$.

Utilizar las distribuciones condicionales mencionadas reales como propuestas es efectivamente lo que se hace con un **Gibb's sampler**, donde nos ahorramos la necesidad de construir

propuestas de transición en el algoritmo de Metropolis-Hastings. Otra cosa que debemos notar es que una propuesta de Gibb's nunca rechazará una propuesta, osea que siempre $\rho = 1$. Esto anterior lo verificamos en nuestra implementación donde observamos un **0 %** de propuestas rechazadas, a comparación de los problemas anteriores.

Utilizando los datos de **Fallos en bombas de agua en centrales nucleares** presentados en el enunciado y los parámetros para las distribuciones a priori, $\alpha = 1.8$, $\gamma = 0.01$ y $\delta = 1$, implementamos el algoritmo de Metropolis-Hastings con Kernels Híbridos para generar muestras de $(\lambda_1, \dots, \lambda_{10}, \beta)$.

A continuación mostramos un extracto de nuestra implementación de logaritmo de la posterior en python, basandonos completamente en la cuentas de la página 386 del libro **Monte Carlo Statistical Methods** [1].

Algorithm 3: Posterior Normal

```
def log_posterior(x):
    lmbd_t, beta_t = x
    sm = 0

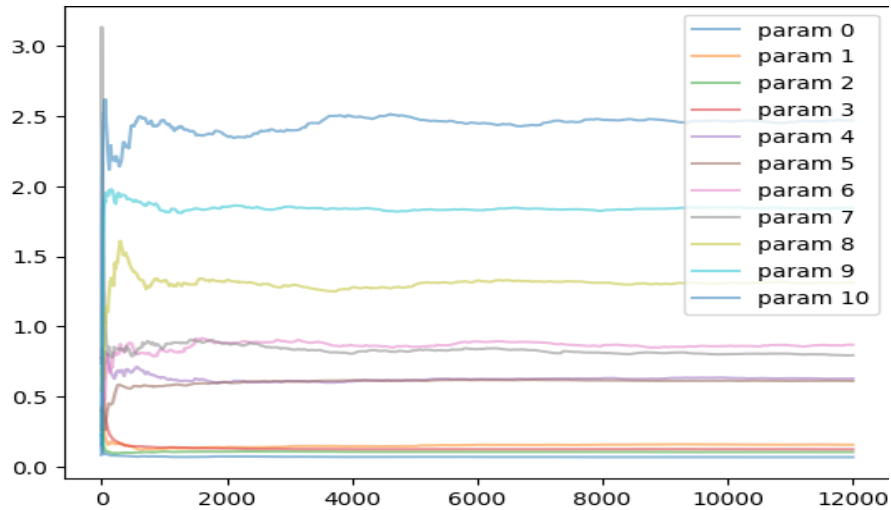
    # Verosimilitud de los datos
    for idx, lmbd_t_i in enumerate(lmbd_t):
        A = (p[idx] + alpha - 1) * np.log(lmbd_t_i)
        B = -(t[idx] + beta_t) * lmbd_t_i

        sm += A + B

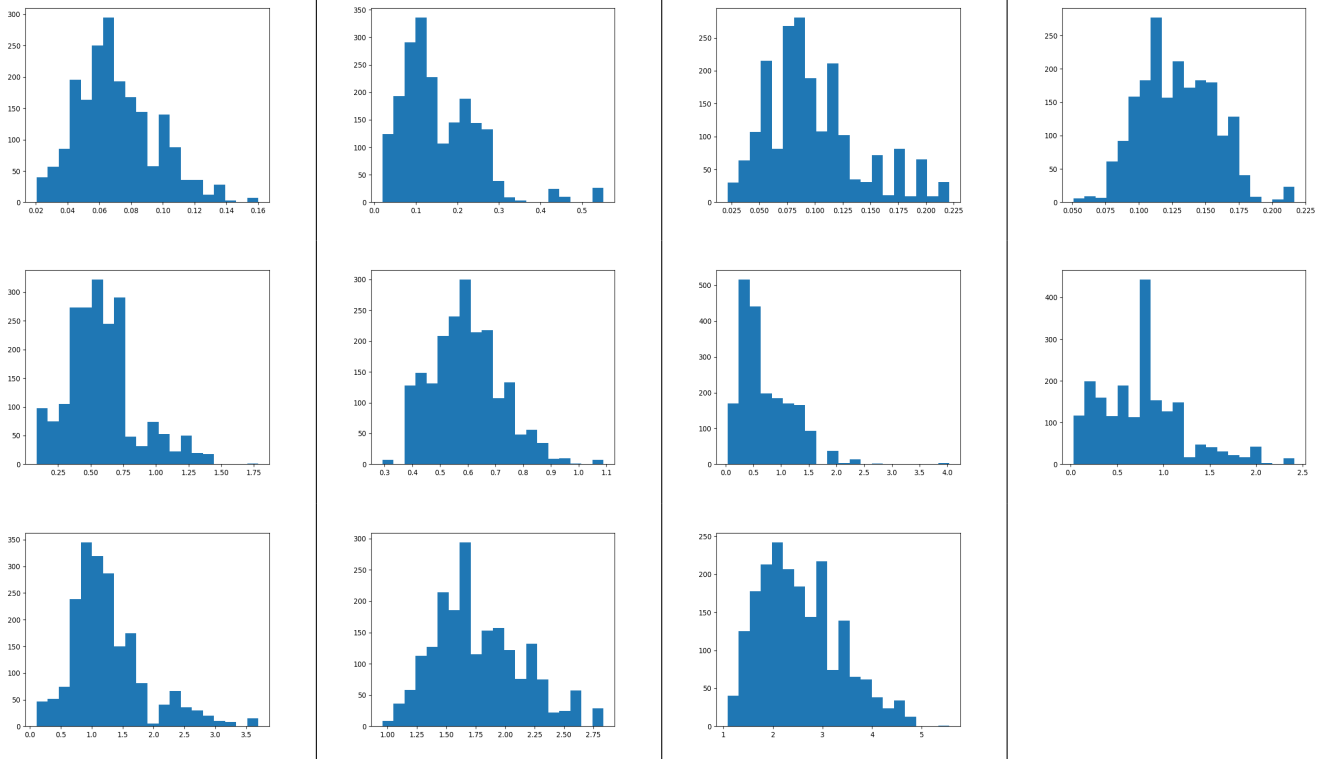
    # Parte
    C = (10 * alpha + gamma - 1) * np.log(beta_t)
    D = -delta * beta_t

    return sm + C + D
```

A continuación presentamos las gráficas de las medias de las muestras generadas hasta cierta iteración t . Así que podemos estudiar la convergencia de las medias muestrales de cada $\lambda_1, \dots, \lambda_{10}, \beta$.



Claramente las medias est  n convergiendo a cierto valor. Nuestro intento ahora ser   estudiar la posterior a trav  s de la muestras generadas por esa misma utilizando Metropolis-Hastings. Otro estudio que podemos hacer es con histogramas en cada variable, estando en el orden $\lambda_1, \dots, \lambda_{10}, \beta$ de izquierda a derecha,



donde almenos podemos asegurar que cada variable est   convergiendo a una distribuci  n

unimodal de lo que observamos en los histogramas. Sería muy interesante observar que tanto se acerca la media a una estimación burda $\hat{\lambda}_i = \frac{p_i}{t_i}$ utilizando los datos proporcionados. Intentaremos esto con una tabla simple comparando estas estimaciones.

	λ_1	λ_2	λ_3	λ_4	λ_5	λ_6	λ_7	λ_8	λ_9	λ_{10}	β
$\hat{\lambda}_i = \frac{p_i}{t_i}$.05	.06	.07	.11	.57	.60	.95	.95	1.90	2.09	-
MCMC	.07	.15	.10	.12	.61	.60	.82	.84	1.28	1.85	2.44

Podemos notar que de alguna manera se acercan y preservan el orden nuestras estimaciones. Podríamos hacer un estudio más completo de la confiabilidad de la bombas de agua con estos resultados.

Referencias

- [1] (Springer Texts in Statistics) - Monte Carlo Statistical Methods (2004), Christian Robert, George Casella